网络出版时间: 2020 - 12 - 25 11:57 网络出版地址: https://kns.cnki.net/kcms/detail/34.1065. R. 20201224.1106.004. html

## miR-34b-5p 上调抑制弥漫大 B 细胞淋巴瘤的侵袭 及 RhoA/ROCK 信号通路

李敬东,韩效林,杨 翠,高攀科,陈小双,梁勇会

摘要 目的 研究 miR-34b-5p 过表达对弥漫大 B 细胞淋巴瘤的生长和运动以及 RhoA/ROCK 信号通路的影响。方法选择弥漫大 B 细胞淋巴瘤系中 SU-DHL-4 细胞进行研究。建立空白对照组、空载体转染组、miR-34b-5p 转染组,采用qRT-PCR 检测 miR-34b-5p 的表达量,采用菌落形成实验、流式细胞术和 Transwell 试验检测细胞增殖、凋亡及侵袭能力;采用 Western blot 检测 E-cadherin、N-cadherin Vimentin、RhoA和 ROCK 蛋白的表达量。结果 在转染 miR-34b-5p 的细胞内,miR-34b-5p 的表达量上调。miR-34b-5p 过表达能抑制弥漫大 B 细胞淋巴瘤 SU-DHL-4 细胞增殖,促进细胞凋亡,减轻细胞侵袭,抑制 RhoA/ROCK 信号通路。结论 miR-34b-

**关键词** miR-34b-5p; 弥漫大 B 细胞淋巴瘤; 增殖; 凋亡; 侵袭; RhoA/ROCK 信号通路

5p 过表达可以抑制弥漫大 B 细胞淋巴瘤的生长和运动以及

中图分类号 R 733.41

RhoA/ROCK 信号通路。

文献标志码 A 文章编号 1000 - 1492(2021) 02 - 0186 - 05 doi: 10.19405/j. cnki. issn1000 - 1492, 2021, 02, 004

弥漫性大 B 细胞淋巴瘤(diffuse large B cell lymphoma, DLBCL) 是一种高度异质性的恶性淋巴瘤。治疗 DLBCL 的标准方案是每 21 天进行 1 次利妥昔单抗、泼尼松、阿霉素、长春新碱和环磷酰胺的化学免疫疗法(rituximab, prednisone, doxorubicin, vincristine and cyclophosphamide, R-CHOP)  $^{[1-2]}$ 。根据国际预后指数(international prognostic index, IPI) 判断预后,对于 IPI 风险评分低级的患者,R-CHOP的治愈率超过 80%,但在 IPI 风险评分高和中级的患者中,预后仍不理想  $^{[3]}$ 。同时由于耐药性的快速出现,导致有 30% ~ 40%的患者复发  $^{[4]}$ 。先前研究  $^{[5]}$ 表明,微小核糖核酸(microRNA, miRNA)能够参与调节癌细胞的恶性生物学行为。已经确定miR-34 是关键的抑癌基因,其靶基因参与了耐药机

制的形成,同时耐药癌细胞中低水平的 miR-34 被升高,化疗药物的敏感性被恢复<sup>[6]</sup>。并且研究表明在甲状腺癌<sup>[7]</sup>、乳腺癌<sup>[8]</sup> 和炎症相关肠癌<sup>[9]</sup> 中 miR-34b-5p 表达量均下降。该研究主要检测 miR-34b-5p 过表达是否对 SU-DHL-4 细胞增殖、侵袭、凋亡及 RhoA/ROCK 信号通路有影响。

#### 1 材料与方法

- 1.1 细胞培养与处理 DLBCL SU-DHL-4 细胞购自中国科学院的细胞库,并用含 10% 胎牛血清的 Dulbecco 改良的 Eagle 培养基( Dulbecco's modified eagle medium, DMEM) 进行培养于 37 ℃生长。miR-34b-5p mimic 和 mimic-NC 根据制造商的说明,使用 Lipofectamine 2000 试剂(美国 Invitrogen 公司) 转染到 SU-DHL-4 细胞。
- **1.2** 总 RNA 提取、反转录和荧光定量 使用 TR—Izol 从 SU-DHL-4 细胞提取总 RNA,提取的总 RNA 首先去除基因组中的 DNA,然后进行反转录,以上步骤按照产品说明书进行操作。荧光定量检测反应体系: 5 μl 的 SYBR Premix,各 0. 5 μl 的上游引物和下游引物,3 μl 的 RNase Free  $dH_2O$ ,1 μl 的 cDNA。程序: 95 ℃预变性 2 min,95 ℃变性 30 s,60 ℃退火30 s,72 ℃延伸 30 s,共 40 个循环。扩增完成后进行溶解曲线分析: 95 ℃维持 10 s,65 ℃处理 1 s,此后从 65 ℃开始,每 1 个循环温度增加 0. 5 ℃,时间为 1 s。
- 1.3 菌落形成实验 将 SU-DHL-4 细胞转染 miR-34b-5p mimic 和 miR-NC 进行处理,在无毒培养基中培养大约 14 d。用冷的甲醇-冰醋酸固定细胞,并用结晶紫染色。
- 1.4 流式细胞术 流式细胞仪检测 SU-DHL-4 细胞 凋亡,采用 Annexin v-荧光素(Annexin v-luciferin, AV) 和碘化丙啶(propidium iodide, PI) 细胞凋亡检测试剂盒(美国 Invitrogen 公司)流式细胞术检测不同处理 SU-DHL-4 细胞的凋亡率。刺激后,用 PBS 洗涤细胞,Annexin V-FITC 和 PI 在室温黑暗中孵育 15 min。流式细胞术使用 FACScan 流式细胞仪(美国

<sup>2020 - 07 - 25</sup> 接收

基金项目:河南省医学科技攻关计划项目(编号:201602152)

作者单位: 新乡医学院第一附属医院血液科,新乡 453100

作者简介: 李敬东,男,博士,副教授,副主任医师,责任作者,E-mail: xykljd2020@163.com

Beckman Coulter 公司) 进行流式分析,数据使用 FlowJo 软件(美国 Ashland 公司) 进行分析。

- **1.5 Western blot** SU-DHL-4 细胞处理后,将细胞用裂解缓冲液裂解在 4 ℃并以14 000 r/min 离心 15 min。蛋白质浓度由 BCA 蛋白定量检测盒(中国上海碧云天生物有限公司)测量。取 20 μg 总蛋白在12% SDS-PAGE 并转移至 PVDF 膜。将膜在 37 ℃下用 1 h 封闭 5%的牛血清白蛋白,然后与抗 E-cadherin、N-cadherin、Vimentin、RhoA 和 ROCK 在 4 ℃过夜。用 TTBS 洗涤后缓冲液(含 Tween-20 的 Tris缓冲盐水),加入辣根过氧化物酶标记的山羊抗兔 IgG(二抗) 37 ℃反应 1 h; 洗膜后 ECL 曝光成像并应用 quantity one 软件分析蛋白条带的灰度值。
- 1.6 Transwall 实验 用不含血清的 DMEM 将接种  $5 \times 10^4/200~\mu l$  SU-DHL-4 细胞在 transwell 室上部。下腔室充满 500  $\mu l$  10% FBS DMEM。孵育 24 h后,将下腔室中的细胞固定在 95% 乙醇中,然后用苏木精染色。在倒置显微镜下计算细胞的侵袭数量。
- **1.7** 统计学处理 采用 SPSS 22.0 软件进行数据分析,实验数据用 $\bar{x} \pm s$  表示,两组之间比较用 t 检验,P < 0.05 为差异有统计学意义。

### 2 结果

- 2.1 miR-34b-5p 过表达对 DLBCL SU-DHL-4 细胞增殖的影响 SU-DHL-4 细胞分别转染 mimic-NC 和 miR-34b-5p mimic, RT-qPCR 检测 miR-34b-5p mRNA 的表达量。结果表明,转染 miR-34b-5p 组中 miR-34b-5p 的表达量上调 [ $0.99 \pm 0.06$ ) vs (65.  $13 \pm 11.31$ )],差异有统计学意义(t = 9.474, P < 0.01)。菌落形成实验结果表明, miR-34b-5p 的过表达能抑制 SU-DHL-4 细胞的增殖 [ $55.74 \pm 9.12$ )% vs ( $11.42 \pm 6.19$ )%],差异有统计学意义(t = 10.273, P < 0.01)。见图 1。提示 miR-34b-5p 过表达能抑制 DLBCL SU-DHL-4 细胞增殖。
- 2.2 miR-34b-5p 过表达对 DLBCL SU-DHL-4 细胞凋亡的影响 通过流式细胞术检测细胞的凋亡,结果表明在细胞转染 miR-34b-5p 组中细胞凋亡率上调 [(4.91 ±1.71)% vs (28.80 ±4.52)%],差异有统计学意义(t =9.860, P <0.01)。通过 Western blot 检测 Bax 和 Bcl-2 蛋白的含量,结果表明 Bax / Bcl-2 的比值在细胞转染 miR-34b-5p 组中上调 [(0.04 ±0.02) vs (5.82 ±0.61)],差异有统计学意义(t =8.387, P <0.01)。见图 2。提示 miR-34b-

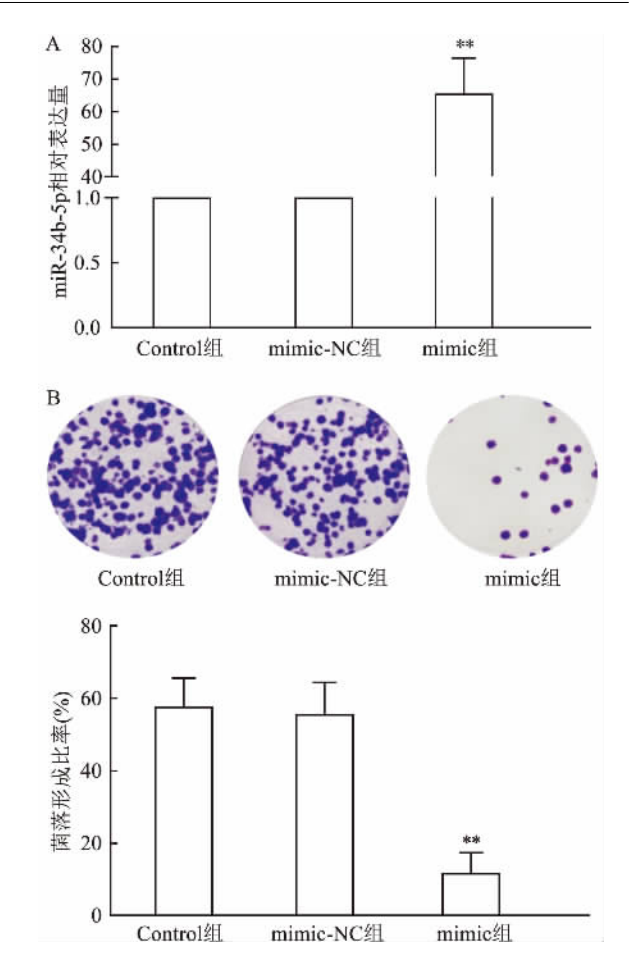


图 1 菌落形成实验检测 SU-DHL-4 细胞增殖 A: qRT-PCR 检测 miR-34b-5p mRNA 的转录表达量; B: 菌落形成实验检测细胞增殖; 与 Control 组比较: \*\*P<0.01

5p 过表达能够促进 DLBCL SU-DHL-4 细胞凋亡。

- 2.3 miR-34b-5p 过表达对 DLBCL SU-DHL-4 细胞侵袭的影响 通过 Transwell 检测细胞侵袭力,结果表明在细胞转染 miR-34b-5p 组中细胞侵袭下调 [(43.74 ± 8.55)  $vs(9.19 \pm 6.01)$ ],差异有统计学 意义(t=6.503, P<0.01)。见图 3。提示 miR-34b-5p 过表达对抑制 DLBCL SU-DHL-4 细胞侵袭。
- 2.4 miR-34b-5p 过表达对 E-cadherin、N-cadherin 和 Vimentin 表达的影响 miR-34b-5p 过表达时 E-cadherin 基因的蛋白表达水平升高 [ $(0.05 \pm 0.02)$   $vs(0.54 \pm 0.09)$ ],差异有统计学意义(t = 4.935, P < 0.05),而 N-cadherin 和 Vimentin 基因的蛋白表达水平下降 [N-cadherin:  $(0.32 \pm 0.07)$   $vs(0.06 \pm 0.04)$ ; Vimentin:  $(0.41 \pm 0.08)$   $vs(0.04 \pm 0.02)$ ],差异有统计学意义(N-cadherin: t = 4.851, P < 0.05; Vimentin: t = 9.236, P < 0.05)。见图 4。提示miR-34b-5p过表达能够抑制 DLBCL SU-DHL-4 细胞侵袭。

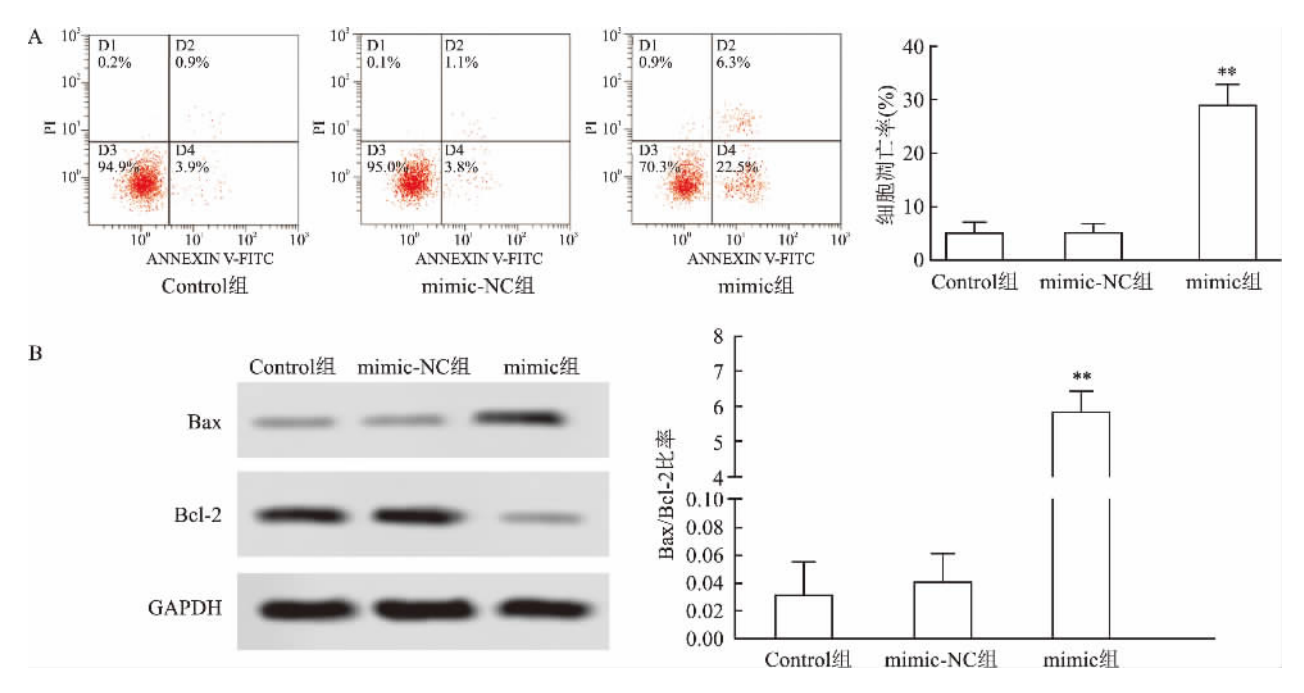
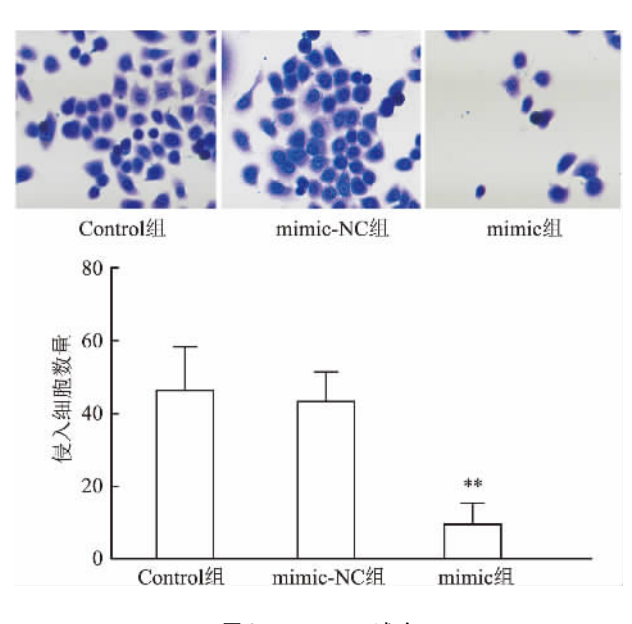


图 2 细胞凋亡检测

A: 流式细胞术检测 SU-DHL-4 细胞的凋亡状态; B: Western blot 检测 Bax 和 Bcl-2 蛋白的表达量; 与 Control 组比较: \*\* P < 0.01



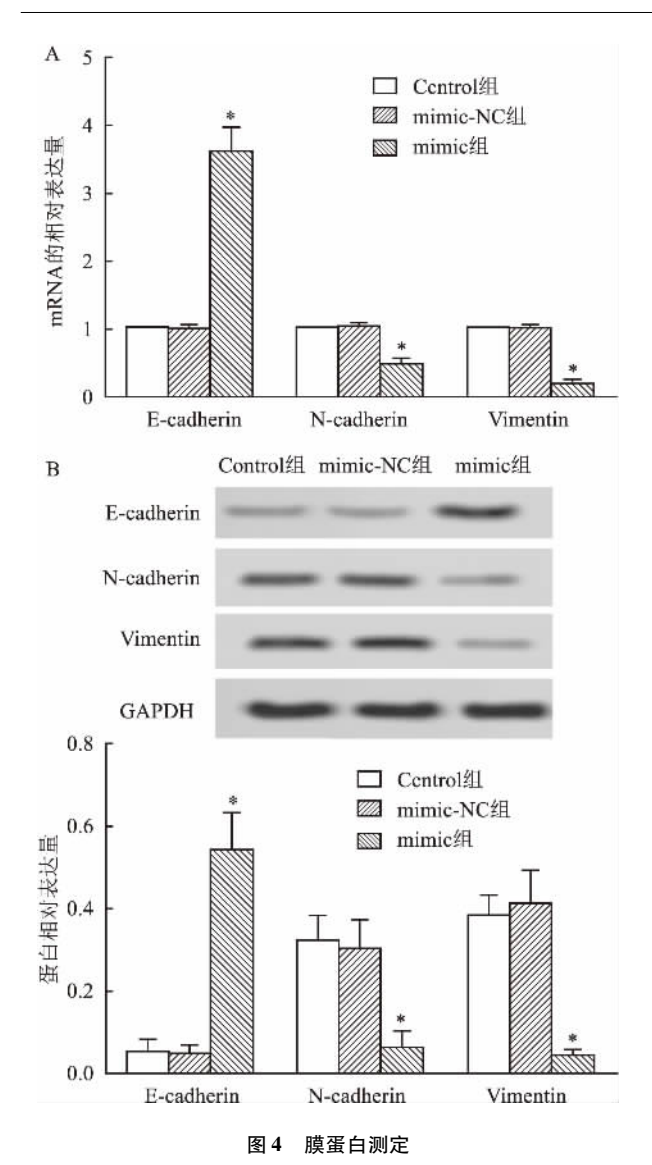
**图 3 Transwell 试验** 与 Control 组比较: \*\*\**P* < 0. 01

# 2.5 miR-34b-5p 过表达对 RhoA/ROCK 信号通路的影响 结果表明 miR-34b-5p 过表达时 RhoA 和ROCK 蛋白的表达水平下降 [RhoA: (0.88 ± 0.09) vs (0.03 ± 0.01); ROCK: (0.93 ± 0.13) vs (0.07 ± 0.04) ],差异有统计学意义(RhoA: t=11.091, P < 0.05; ROCK: t=28.622, P < 0.05)。见图 5。提示miR-34b-5p 过表达能够抑制 RhoA/ROCK 信号通路。

### 3 讨论

DLBCL 是一种恶性淋巴瘤,影响所有年龄段的 患者,临床表现广泛。R-CHOP治疗方案在治疗 DLBCL 上取得一定的成果,但同时也出现一些棘手 的问题,比如耐药性产生导致预后不良、严重病患治 愈率差等。目前, miRNA 在诊断和治疗 DLBCL 扮 演着很重要的角色。研究表明 miR-214 过表达可通 过靶向目的基因 PD-L1 抑制 OCI-Ly3 细胞活力和侵 袭性并诱导细胞凋亡,从而抑制 DLBCL 的进展。同 时,miR-214 通过调节 IL-10、IFN-γ 和 TNF-α 的表 达,靶向目的基因 PD-L1 来调节 DLBCL 的免疫反 应[10]。最重要是研究表明 miR-34b 基因甲基化可 能导致该基因转录表达沉默,是 DLBCL 发生发展 的促进因素[11]。本研究通过在 SU-DHL-4 细胞转 染 miR-34b-5p, 结果表明 miR-34b-5p 的过表达能 抑制 SU-DHL-4 细胞的增殖和侵袭,并诱导细胞凋 亡,从而抑制 DLBCL 的发展进程。

E-cadherin 是 calcium-dependent 跨膜糖蛋白,位于上皮组织,是细胞黏附分子和信号转导因子的组成部分,可以直接与蛋白复合物或与肌动蛋白细胞骨架结合形成β-连环蛋白,从而预防和减少肿瘤细胞黏附。N-cadherin 也是 cadherin 家族中重要的组成部分。Vimentin 也是一种细胞骨架蛋白,在正常的上皮细胞中不表达,但广泛分布于成纤维细胞、



A: qRT-PCR 检测 E-cadherin、N-cadherin、Vimentin 的转录表达量: B: Western blot 检测 E-cadherin、N-cadherin、Vimentin 蛋白的表达量: 与 Control 组比较: \* P < 0.05

内皮细胞和间质细胞的淋巴细胞中。研究发现,Vi-mentin 在多种上皮性肿瘤中存在异常表达,并与癌细胞的分化、侵袭和转移密切相关<sup>[12]</sup>。本研究结果表明 miR-34b-5p 过表达导致 E-cadherin 基因和蛋白的表达水平升高,而 N-cadherin 和 Vimentin 基因的蛋白的表达水平下降。miR-34b-5p 过表达可抑制 SU-DHL-4 细胞分化、侵袭和转移。

ROCK 是 GTPase 蛋白 RhoA 的下游效应子。 ROCK 家族是由 ROCK1 和 ROCK2 组成的,在肌动 蛋白细胞骨架的组织中起着核心作用,并参与多种 基本的细胞功能,例如收缩、黏附、迁移、增殖和凋亡 等<sup>[13]</sup>。Rho/ROCK 信号通路在癌症侵袭和转移中 起着关键作用。已知 Rho 家族的 GTPase 蛋白可以

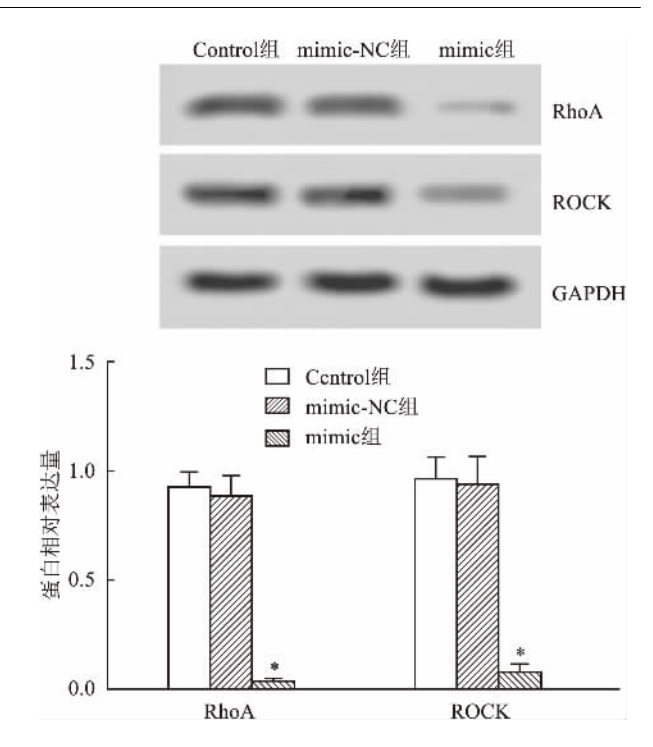


图 5 RhoA 和 ROCK 信号蛋白测定

A: Western blot 检测 RhoA、ROCK 蛋白的表达量; B: RhoA、ROCK 蛋白的表达的柱状图; 与 Control 组比较:  $^*P$  < 0.05

重组细胞骨架并通过激活 ROCK 从而调节细胞迁移<sup>[14]</sup>。研究表明,运用溶血磷脂酸协同激活 Rho / ROCK 信号通路从而刺激卵巢癌发展进程<sup>[15]</sup>。本研究结果表明 miR-34b-5p 过表达时 RhoA 和 ROCK 蛋白的表达水平下降,说明该通路未被激活,从而减轻 SU-DHL-4 细胞的侵袭力。

综上所述,本研究发现 miR-34b-5p 过表达抑制 SU-DHL-4 细胞增殖、侵袭并诱导细胞凋亡,同时抑制 RhoA/ROCK 信号通路。因此, miR-34b-5p 有望成为治疗 DLBCL 的新靶点。本研究仅为体外细胞试验和机制的初步探讨,体内试验有待进一步深入研究。

### 参考文献

- [1] Coiffier B, Lepage E, Briere J, et al. CHOP chemotherapy plus rituximab compared with CHOP alone in elderly patients with diffuse large-B-cell lymphoma [J]. The New England Journal of Medicine, 2002, 346(4):235-42.
- [2] Moccia A A, Thieblemont C. Curing diffuse large B-cell lymphomas in elderly patients [J]. Eur J Intern Med, 2018, 58: 14 21.
- [3] Pfreundschuh M, Trümper L, Osterborg A, et al. CHOP-like chemotherapy plus rituximab versus CHOP-like chemotherapy alone in young patients with good-prognosis diffuse large-B-cell lymphoma: a randomised controlled trial by the MabThera International

- Trial (MInT) Group [J]. Lancet Oncol, 2006, 7(5):379-91.
- [4] Coiffier B, Thieblemont C, Van Den Neste E, et al. Long-term outcome of patients in the LNH-98. 5 trial, the first randomized study comparing rituximab-CHOP to standard CHOP chemotherapy in DLBCL patients: a study by the Groupe d'Etudes des Lymphomes de l'Adulte [J]. Blood, 2010, 116(12):2040-5.
- [5] Larrabeiti-Etxebarria A, Lopez-Santillan M, Santos-Zorrozua B, et al. Systematic review of the potential of microRNAs in diffuse large B cell lymphoma [J]. Cancers (Basel), 2019, 11(2):144.
- [6] Ghandadi M, Sahebkar A. MicroRNA-34a and its target genes: key factors in cancer multidrug resistance [J]. Curr Pharm Design, 2016,22(7):933-9.
- [7] Maroof H, Islam F, Dong L, et al. Liposomal delivery of miR-34b-5p induced aancer cell death in thyroid carcinoma [J]. Cells, 2018, 7(12):265.
- [8] Dong L, Chen F, Fan Y, et al. MiR-34b-5p inhibits cell proliferation, migration and invasion through targeting ARHGAP1 in breast cancer [J]. Am J Transl Res, 2020, 12(1):269-80.
- [9] Yang C, Lu W, He H, et al. Inflammation and DNA methylation dependent down-regulation of miR-34b-5p mediates c-MYC expression and CRL4( DCAF4) E3 ligase activity in colitis-associat—

- ed cancer [J]. Am J Pathol, 2020, 190(3):674-88.
- [10] Sun J R, Zhang X, Zhang Y. MiR-214 prevents the progression of diffuse large B-cell lymphoma by targeting PD-L1 [J]. Cell Mol Biol Lett, 2019, 24:68.
- [11] 王丽丽, 陈云昭, 胡文浩,等. 弥漫性大 B 细胞淋巴瘤 miR-34b 基因甲基化改变及其意义 [J]. 农垦医学, 2010, 32(4): 292-6.
- [12] Zhou J, Tao D, Xu Q, et al. Expression of E-cadherin and vimentin in oral squamous cell carcinoma [J]. Int J Clin Exp Pathol, 2015, 8(3):3150-4.
- [13] Wei L, Surma M, Shi S, et al. Novel insights into the roles of Rho kinase in cancer [J]. Arch Immunol Ther Exp (Warsz), 2016, 64(4):259-78.
- [14] Genda T, Sakamoto M, Ichida T, et al. Cell motility mediated by rho and Rho-associated protein kinase plays a critical role in intrahepatic metastasis of human hepatocellular carcinoma [J]. Hepatology (Baltimore, Md), 1999, 30(4):1027-36.
- [15] Jeong K J, Park S Y, Cho K H, et al. The Rho/ROCK pathway for lysophosphatidic acid-induced proteolytic enzyme expression and ovarian cancer cell invasion [J]. Oncogene, 2012, 31(39): 4279-89.

### Up-regulation of miR-34b-5p inhibits invasion of diffuse large B lymphoma and RhoA/ROCK signaling pathway

Li Jingdong, Han Xiaolin, Yang Cui, et al

(Dept of Hematology, The First Affiliated Hospital of Xinxiang Medical College, Xinxiang 453100)

Abstract *Objective* To study the effect of miR-34b-5p Up-regulation on the invasion of diffuse large B cell lymphoma and the RhoA/ROCK signaling pathway. *Methods* SU-DHL-4 cells were selected for study in diffuse large B lymphoma lines. A blank control group, an empty vector transfection group, and a miR-34b-5p transfection group were established. The expression of miR-34b-5p was detected by qRT-PCR. Cell proliferation, apoptosis and invasive were tested by colony formation assay, flow cytometry and Transwell test respectively. Western blot was used to detect the proteins expression levels of E-cadherin, N-cadherin Vimentin, RhoA and ROCK. *Results* miR-34b-5p expression was significantly up-regulated in cells transfected with miR-34b-5p. miR-34b-5p overexpression inhibited SU-DHL-4 cells proliferation, enhanced SU-DHL-4 cells apoptosis, reduced SU-DHL-4 cells invasion, and inhibited the RhoA/ROCK signaling pathway. *Conclusion* miR-34b-5p overexpression inhibits the growth and motility of diffuse large B cell lymphoma and the expression of RhoA/ROCK signaling pathway.

**Key words** miR-34b-5p; diffuse large B cell lymphoma; proliferation; apoptosis; invasion; RhoA/ROCK signaling pathway